

УДК 535.21 : 539.184

© 1991

## ОДНОАТОМНАЯ ФАЗОВАЯ БИСТАБИЛЬНОСТЬ В ФУНДАМЕНТАЛЬНОЙ МОДЕЛИ КВАНТОВОЙ ОПТИКИ<sup>1</sup>

Килин С. Я., Крилицкая Т. Б.

Показано, что двухуровневый атом в когерентно-возбуждаемом оптическом резонаторе проявляет оптическую фазовую бистабильность в случае больших частот Раби и быстро затухающей резонаторной моды по сравнению с атомной релаксацией, вызванной спонтанным испусканием в нерезонаторные моды.

Начиная с работ Вайскофа [1] по квантовой теории резонансной флуоресценции свободного атома в слабом поле проблема взаимодействия одиночного атома со светом является одной из центральных в квантовой оптике. После открытия лазеров было предсказано и наблюдалось много новых и неожиданных физических эффектов для взаимодействия сильного поля с атомом в свободном пространстве. Среди них предсказания [2-4] и наблюдения [5-7] трехпикового спектра резонансной флуоресценции, антигруппировка фотонов [8-9] и субпуассоновская статистика [10], сжатие для интегрального по частоте света резонансной флуоресценции [11], так же, как и для света боковых компонент [12]. Если поместить атом в высокодобротный оптический резонатор, можно наблюдать некоторые новые физические эффекты. В этом случае нельзя рассматривать поле как резервуар для излучаемых фотонов — резонаторное поле следует трактовать как динамическую квантовую систему, взаимодействующую с атомом, способную к редукции благодаря излучению через зеркала резонатора. Изменение поля резонатором ведет к резонаторному увеличению или уменьшению спонтанного излучения атомом [13-16]. Конечная ширина резонаторной моды спектра предоставляет возможность для динамической модификации спонтанного излучения внешним лазерным полем [17-18]. Атом и высокодобротный оптический резонатор, сильно взаимодействуя друг с другом, теряют свою индивидуальность и становятся единой квантовой системой с новыми физическими свойствами, включающими вакуумное расщепление Раби [19-21] и стационарную атомную инверсную населенность двухуровневого атома [22].

В этой работе мы покажем, что одиночный двухуровневый атом в когерентно-возбуждаемом оптическом резонаторе проявляет новый эффект — одноатомную оптическую фазовую бистабильность в случае больших частот Раби и затуханий резонаторных мод, быстрых по сравнению с затуханием атома вследствие спонтанного излучения в нерезонаторные моды. В этом случае квантовая система атом+поле может быть рассмотрена как система двух осцилляторов с различными фазами и со случайными перескоками квантов возбуждений между этими осцилляторами.

Одномодовое оптическое поле резонатора представляется квантовым гармоническим осциллятором с частотой  $\omega_0$  и бозонными операторами рождения и уничтожения  $a^+$  и  $a$ . Мода резонансно возбуждается когерентным полем. Взаимодействие описывается гамильтонианом (в представлении взаимодействия)  $i\hbar E(a^+ - a)$ , где  $E$  — внутррезонаторная амплитуда возбуждающего поля

<sup>1</sup> Данная работа и следующие за ней были доложены на III Всесоюзном семинаре по квантовой оптике в Раубичах в мае 1990 г.

Двухуровневый атом с частотой перехода  $\omega$  описывается фермионным повышающим и понижающим операторами  $\sigma_+ = |+\rangle\langle -|$ ,  $\sigma_- = |-\rangle\langle +|$ , подчиняющихся коммутационным соотношениям  $[\sigma_+, \sigma_-] = 2\sigma_z$ ,  $[\sigma_{\pm}, \sigma_z] = \mp\sigma_{\pm}$ ,  $2\sigma_z = |+\rangle\langle +| - |-\rangle\langle -|$ . Атом и резонаторная мода взаимодействуют в приближении вращающейся волны согласно гамильтониану Джейнса—Каммингса. Затухание резонаторной моды вследствие излучения через частично пропускающие зеркала и затухание атома вследствие флуоресценции в нерезонаторные моды описываются на основе марковских уравнений для редуцированного оператора плотности  $\rho$  для взаимодействующих атома и резонаторной моды. Эти уравнения в базисе, вращающемся на частоте  $\omega_0$ , выглядят как

$$\begin{aligned} \dot{\rho} &= E[a^+ - a, \rho] - i\Delta\omega[\sigma_z, \rho] - ig[a^+\sigma_- - a\sigma_+, \rho] + (L_a + L_f)\rho, \\ L_a\rho &= (\gamma/2)([\sigma_-, \rho\sigma_+] + [\sigma_-\rho, \sigma_+]), \quad L_f\rho = k([a, \rho a^+] + [a\rho, a^+]), \end{aligned} \quad (1)$$

где  $\Delta\omega = \omega - \omega_0$  есть частотная расстройка системы атом—поле,  $g = \mu |u(r)|/\hbar$  — константа взаимодействия атома с полем,  $\mu$  — проекция атомного дипольного матричного элемента на вектор поляризации моды поля, а  $u(r)$  является резонаторной модовой функцией в точке расположения атома (в плосковолновом приближении  $|u(r)| = (\hbar\omega_0/\varepsilon_0 AL)^{1/2}$ , где  $L$  — длина резонатора и  $A$  — поперечное сечение резонаторной моды);  $\gamma$  характеризует скорость спонтанного излучения в нерезонаторные моды (можно взять в качестве приближения скорость  $\gamma$ , равную скорости распада в свободном пространстве  $\omega^3\mu^2/3\pi\hbar\varepsilon_0c^3$ );  $k = \pi/F\tau_c$  — скорость затухания поля в резонаторе, где  $\tau_c = 2L/c$  — время обхода излучения резонатора, а  $F$  — резкость резонатора.

Для решения уравнения (1), описывающего фундаментальную модель квантовой оптики, применялся ряд методов [23–25]. Здесь мы представляем аналитическое решение (1) для случая так называемых хорошо разделенных спектральных компонент [26]. Для этих целей мы сделали два канонических преобразования. Первое из них реализуется посредством оператора смещения амплитуды когерентного состояния  $D(E/k) = \exp(E(a^+ - a)/k)$ , который заменяет в уравнении (1) член, описывающий возбуждение резонаторной моды, на член, соответствующий возбуждению атома в уравнениях для преобразованного оператора плотности  $\rho' = D^{-1}(E/k)\rho D(E/k)$

$$\dot{\rho}' = -2iv[\sigma_z, \rho'] - i\Delta\omega[\sigma_z, \rho'] - ig[a^+\sigma_- + a\sigma_+, \rho'] + (L_a + L_f)\rho', \quad (2)$$

где  $v = gE/k$  — частота Раби атома в когерентном поле с амплитудой  $E/k$ , соответствующей стационарной амплитуде поля в пустом управляемом резонаторе. Вторым преобразованием является переход в представление «детой состояния»

$$\rho' = e^{-i\Omega\sigma'_z t} \sigma'_i e^{i\Omega\sigma'_z t}, \quad (3)$$

где  $\Omega = \sqrt{(2v)^2 + (\Delta\omega)^2}$  — обобщенная частота Раби,  $\sigma'_z = \sigma_z + c\sigma_z$  и  $s = 2v/\Omega$ ,  $c = \Delta\omega/\Omega$ . В этом представлении временная зависимость атомных операторов  $\sigma'_i(t) = e^{i\Omega\sigma'_z t} \sigma'_i e^{-i\Omega\sigma'_z t}$  определяется соотношениями

$$\sigma'_+(t) = s\sigma'_+ + (1+c)\sigma'_+ e^{i\Omega t}/2 - (1-c)\sigma'_- e^{-i\Omega t}/2, \quad (4)$$

$$\sigma'_z(t) = c\sigma'_z - (s/2)\sigma'_+ e^{i\Omega t} - (s/2)\sigma'_- e^{-i\Omega t}, \quad (5)$$

где  $\sigma'_i = \exp(-i\theta\sigma_y)\sigma_i\exp(i\theta\sigma_y)$ ,  $(\operatorname{tg}\theta = s/c)$  — «одетый» атомный оператор. Если мы предположим, что  $\Omega^{-1}$  является наименьшим характерным временем задачи, т. е. если

$$\Omega \gg k, \quad \Omega \gg \gamma, \quad (6)$$

то можно усреднить основные уравнения для «детой» матрицы плотности по быстрым осцилляциям Раби и получить следующее уравнение:

$$\begin{aligned} \dot{\sigma} &= -igs[(a^+ + a)\sigma'_z, \sigma] + L_f\sigma + (\gamma s^2/2)([\sigma'_z, \sigma'_z] + [\sigma'_z, \sigma'_z]) + \\ &+ \frac{\gamma}{2}\left(\frac{1-c}{2}\right)^2([\sigma'_+, \sigma'_-] + [\sigma'_+\sigma, \sigma'_-]) + \frac{\gamma}{2}\left(\frac{1+c}{2}\right)^2([\sigma'_-, \sigma'_+] + [\sigma'_-\sigma, \sigma'_+]). \end{aligned} \quad (7)$$

Эти уравнения описывают простую физическую модель, которая очень удобна для рассмотрения в представлении одетого состояния. В этом случае оператор  $\sigma'_z$  является диагональным,  $2\sigma'_z = |2\rangle\langle 2| - |1\rangle\langle 1|$ ,  $\sigma'_+ = |2\rangle\langle 1|$  и уравнения для диагональных элементов  $\sigma$  имеют вид

$$\dot{\sigma}_{11} = i(gs/2)[a^+ + a, \sigma_{11}] + L_f \sigma_{11} + d_{21}\sigma_{22} - d_{12}\sigma_{11}, \quad (8a)$$

$$\dot{\sigma}_{22} = -i(gs/2)[a^+ + a, \sigma_{22}] + L_f \sigma_{22} - d_{21}\sigma_{22} + d_{12}\sigma_{11}, \quad (8б)$$

где  $d_{12} = \gamma(1-c)^2/4$ ,  $d_{21} = \gamma(1+c)^2/4$ .

Уравнения (8) описывают затухающий гармонический осциллятор, который может быть обнаружен в двух функциональных состояниях. В первом состоянии

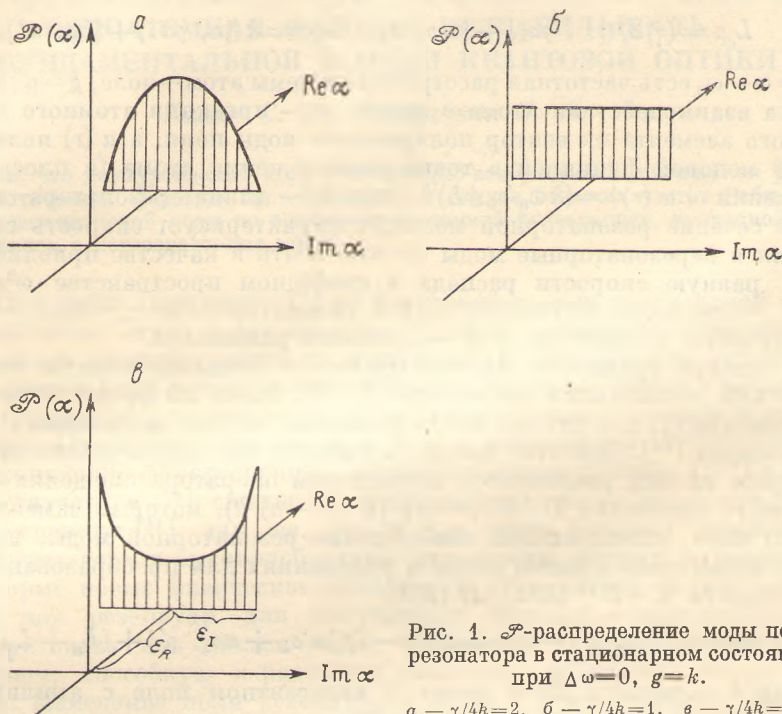


Рис. 1.  $\mathcal{P}$ -распределение моды поля резонатора в стационарном состоянии при  $\Delta\omega=0$ ,  $g=k$ .

$a - \gamma/4k=2$ ,  $б - \gamma/4k=1$ ,  $в - \gamma/4k=0.5$ .

с матрицей плотности  $\sigma_{11}$  осциллятор возбуждается классическим полем с амплитудой, пропорциональной  $-gs/2$ , в то время как во втором состоянии  $\sigma_{22}$  осциллятор возбуждается классическим полем с тем же, но сдвинутым по фазе на  $\pi$  значением амплитуды. Переходы между двумя состояниями происходят как внезапные марковские скачки со скоростями  $d_{21}$  и  $d_{12}$ . Если скорости относительно малы, то, очевидно, что такая система может проявлять фазовую бистабильность. В самом деле, мы решили (8) в стационарном случае на основе эквивалентных уравнений для характеристической матрицы  $\mathcal{F}_{ij}(\lambda, t) = \text{Sp}(\exp(\lambda a^+) \exp(-\lambda^* a) D(E/k) \sigma_{ij} D^{-1}(E/k))$  и нашли, что  $\mathcal{P}$  — функция поля ( $\mathcal{P}(\alpha) = \mathcal{P}_{11}(\alpha) + \mathcal{P}_{22}(\alpha)$ ;  $\mathcal{P}_{ii}(\alpha) = \pi^{-2} \int d^2\lambda \exp(\lambda^* \alpha - \lambda \alpha^*) \mathcal{F}_{ii}(\lambda, t)$ ) выглядит так:

$$\mathcal{P}(\alpha) = \mathcal{P}_0^{-1} \delta(\text{Re } \alpha - \mathcal{E}_R) \Theta(\text{Im}^2 \alpha - \mathcal{E}_I^2) \left(1 - \frac{\text{Im } \alpha}{\mathcal{E}_I}\right)^{d_{21}/k-1} \left(1 + \frac{\text{Im } \alpha}{\mathcal{E}_I}\right)^{d_{12}/k-1}, \quad (9)$$

где  $\mathcal{P}_0 = 2 \gamma^{-1} |\mathcal{E}_I| B(d_{21}/k, d_{12}/k)$  — параметр нормировки;  $\mathcal{E}_R = E/k$ ;  $\mathcal{E}_I = gs/2k$ ;  $B(x, y) = \Gamma(x)\Gamma(y)/\Gamma(x+y)$  — бета-функция;  $\Theta(x)$  — ступенчатая функция Хевисайда, равная единице при  $x \geq 0$  и нулю при  $x < 0$ . Как видно из (9), распределения действительной и мнимой частей амплитуды поля являются независимыми. Действительная часть совпадает со стационарной амплитудой  $\mathcal{E}_R$  пустого резонатора, тогда как мнимая часть распределена, со-

гласно закону бета-распределения, на отрезке от  $-\varepsilon_I$  до  $\varepsilon_I$ . Взаимосвязь между мнимой частью распределения и значением отношения  $\gamma/4k$  иллюстрирована на рис. 1. Если это отношение больше единицы ( $\gamma/4k > 1$ ), то распределение будет стабильным с одним максимумом (рис. 1, а). При  $\gamma/4k=1$  (рис. 1, б) реализуется однородное распределение, и при  $\gamma/4k < 1$  распределение становится бистабильным (рис. 1, в) с двумя стабильными точками, локализованными в  $\text{Im } \alpha_1 = -gs/2k$  и  $\text{Im } \alpha_2 = gs/2k$ . Стабильность точек зависит от значения  $\gamma/4k$ : чем меньше отношение  $\gamma/4k$ , тем больше стабильность точек. Можно заметить, что расстройка  $\Delta \omega$  системы поле-атом ведет к асимметрии распределения. Бистабильность мнимой части амплитуды при  $\gamma/4k < 1$  вместе с фиксиро-

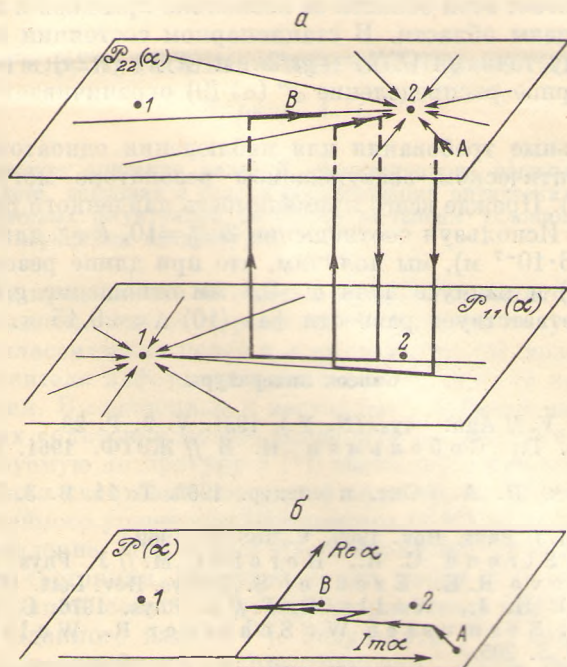


Рис. 2. Фазовое пространство для когерентно возбуждаемого атома внутри резонатора в случае больших частот Раби — а, и стохастическая картина движения моды поля резонатора для  $\mathcal{P}$ -представления — б.

ванным значением действительной части может наблюдаться как фазовая бистабильность поля. Последнее противопоставлено одноатомной оптической бистабильности поглощательного типа, полученной в [25] на основе метода факторизации среднего поля. Различие между фазами поля в стабильных точках будет следующим:

$$\Delta \varphi = 2 \arctg (gs/2E). \quad (10)$$

Как видно из уравнения (10), разность фаз не зависит от длины резонатора и определяется отношением

$$\frac{g}{E} = 2\sqrt{2} \frac{C}{Y} = \frac{\gamma}{2v} \cdot \frac{12}{(k_0 w)^2} \cdot \frac{F}{\pi}, \quad (11)$$

где  $k_0 = 2\pi/\lambda$ ,  $w$  — радиус перетяжки лазерного луча.  $C = g^2/k\gamma$  — параметр кооперативности для одноатомного варианта оптической бистабильности,  $Y = E/k \sqrt{n_s}$  — нормированная амплитуда возмущающего поля,  $n_s = \gamma^2/8g^2$  — насыщающее число фотонов. Обсуждаемые свойства стационарного распределения (9) станут более понятными, если мы обратимся к фазовому пространству модели (рис. 2), которое согласно уравнениям для  $\mathcal{P}_{11}(\alpha)$  и  $\mathcal{P}_{22}(\alpha)$  ( $\alpha = x + iy$ )

$$\frac{\partial \mathcal{P}_{11}}{\partial t} = \frac{\partial}{\partial x} [(kx - E) \mathcal{P}_{11}] + \frac{\partial}{\partial y} \left[ \left( \frac{gs}{2} + ky \right) \mathcal{P}_{11} \right] + d_{21} \mathcal{P}_{22} - d_{12} \mathcal{P}_{11}, \quad (10a)$$

$$\frac{\partial \mathcal{P}_{22}}{\partial t} = \frac{\partial}{\partial x} [(kx - E) \mathcal{P}_{22}] + \frac{\partial}{\partial y} \left[ \left( -\frac{gs}{2} + ky \right) \mathcal{P}_{22} \right] - d_{21} \mathcal{P}_{22} + d_{12} \mathcal{P}_{11} \quad (106)$$

состоит из двух фазовых плоскостей, соответствующих двум функциональным состояниям ( $\sigma_{11}$  и  $\sigma_{22}$ ) осциллятора. Стохастические уравнения в соответствии с уравнениями (10) определяют марковский процесс движения вдоль траекторий  $y + gs/2k = \text{const} \cdot (kx - E)$  и  $y - gs/2k = \text{const} \cdot (kx - E)$  для первой ( $\mathcal{P}_{11}$ ) и второй ( $\mathcal{P}_{22}$ ) фазовых плоскостей и внезапные стохастические прыжки между плоскостями. Стохастическая картина процесса, представленная на рис. 2, показывает, что система, находящаяся изначально за пределами области  $-(gs/2k) \leq y \leq gs/2k$ , достигает этой области за несколько прыжков и после этого не может выйти за пределы области. В стационарном состоянии система движется вдоль линии между точками  $(E/k, -gs/2k)$  и  $(E/k, gs/2k)$  в обеих плоскостях. Поэтому стационарное распределение  $\mathcal{P}(\alpha)$  (9) ограничивается этим отрезком линии  $x = E/k$ .

Экспериментальные требования для наблюдения одноатомной фазовой бистабильности в оптическом возбуждаемом резонаторе могут быть оценены на основе (6) и (11). Прежде всего применимость найденного решения определяется условием (6). Используя соотношение  $2\nu/\gamma = 10$ ,  $k = \gamma$  для  $D$ -линии натрия ( $\gamma \approx 6 \cdot 10^7 \text{ с}^{-1}$ ,  $\lambda \approx 6 \cdot 10^{-7} \text{ м}$ ), мы получим, что при длине резонатора  $L = 1.5 \text{ мм}$  (резкости  $F = 5200$ ) и радиусе луча  $w = 0.1 \text{ мм}$  отношение  $g/E$ , согласно (11), равно 1.7, что соответствует разности фаз (10)  $\Delta \varphi \approx 0.45 \pi$ .

#### Список литературы

- [1] Weisskopf V. // Ann. Phys. (N. Y.). 1931. V. 9. P. 23.
- [2] Раутиан С. Г., Собельман И. И // ЖЭТФ. 1961. Т. 41. С. 456; 1963. Т. 44. С. 834.
- [3] Апанасевич П. А. // Опт. и спектр. 1963. Т. 14. В. 3. С. 612; 1964. Т. 16. В. 4. С. 709.
- [4] Mollow B. R. // Phys. Rev. 1969. V. 188. P. 1969.
- [5] Schuda F., Stroud C. R., Hercher M. // J. Phys. 1974. B. 7. L. 198.
- [6] Wu F. Y., Grove R. E., Ezekiel S. // Phys. Rev. Lett. 1975. V. 35. P. 1426.
- [7] Carmichael H. J., Walls D. F. // J. Phys. 1976. B. 9. P. 1199.
- [8] Harting W., Resmussen W., Schieder R., Walther H. // Z. Phys. 1976. A. B. 278. S. 205.
- [9] Kimble H. G., Dagenais M., Mandel L. // Phys. Rev. Lett. 1977. V. 39. P. 691; Phys. Rev. 1978. A. V. 18. P. 201.
- [10] Short R., Mandel L. // Phys. Rev. Lett. 1983. V. 51. P. 384.
- [11] Walls D. F., Zoller P. // Phys. Rev. Lett. 1981. V. 47. P. 709.
- [12] Апанасевич П. А., Килин С. Я. // Phys. Lett. 1977. V. 62A. P. 83.
- [13] Goy P., Raimond J. M., Gross M., Haroche S. // Phys. Rev. Lett. 1983. V. 50. P. 1903.
- [14] Jhe W., Anderson A., Hinds E. A., Meschede D., Moi L., Haroche S. // Phys. Rev. Lett. 1987. V. 58. P. 666.
- [15] O'Brien D. P., Meystre P., Walther H. // Adv. At. Mol. 1985. V. 21. P. 1.
- [16] Hulet R. G., Hilfer E. S., Sleppner D. // Phys. Rev. Lett. 1985. V. 55. P. 2437.
- [17] Lweenstein M., Mossberg T. W., Glauber R. J. // Phys. Rev. Lett. 1987. V. 59. P. 775.
- [18] Zhu Y., Lezama A., Mossberg T. W., Lewenstein M. // Phys. Rev. Lett. 1988. V. 61. P. 1946.
- [19] Sanchez-Mondragon J. J., Narozhny N. B., Eberly J. H. // Phys. Rev. Lett. 1983. V. 51. P. 550.
- [20] Agarval G. S. // Phys. Rev. Lett. 1984. V. 53. P. 1732.
- [21] Raizen M. G., Thompson R. J., Brecha R. J., Kimble H. J., Carmichael H. J. // Phys. Rev. Lett. 1989. V. 63. P. 240.
- [22] Savage C. M. // Phys. Rev. Lett. 1988. V. 60. P. 1829.
- [23] Rice P. R., Carmichael H. J. // IEEE J. Quant. Electron. 1988. V. 24. P. 1351.
- [24] Barnett S. M., Knight P. L. // Phys. Rev. 1986. A. V. 33. P. 2444.
- [25] Savage C. M., Carmichael H. J. // IEEE J. Quant. Electron. 1988. V. 24. P. 1495.
- [26] Kilin S. Ya. // J. Phys. 1980. B. V. 13. P. 2653.